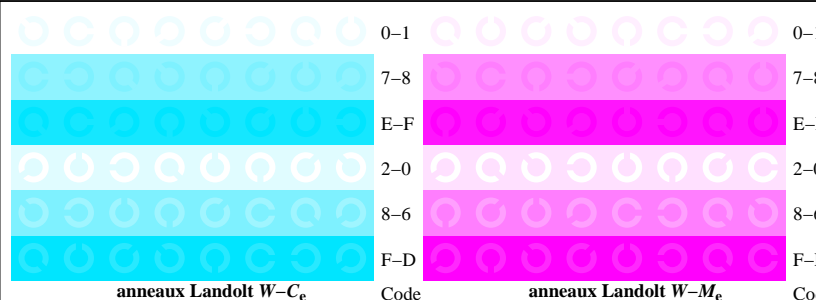


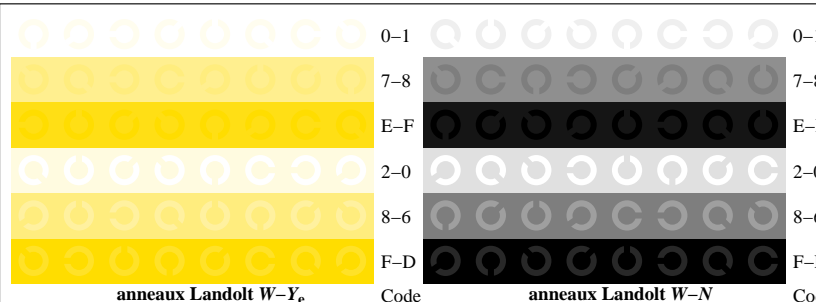
TF901-1, Fig. B4We: 16 équidistantes étapes $W-C_e; W-M_e; W-Y_e; W-N$; $rgb/cmy0 \rightarrow rbg_e$ setrgbcolor

+-.	Q	lmno	lmno	pqrs	tuvw	tuvw	tuvw
xyz;	o	hijk	hijk	o	o	o	o
tuvw	o	defg	defg	o	o	o	o
pqrs	o	!abc	!abc	o	o	o	o
lmno	o	xyz;	xyz;	o	o	o	o
hijk	C	tuvw	tuvw	o	o	o	o
defg	o	pqrs	pqrs	o	o	o	o
!abc	o	!abc	!abc	o	o	o	o
10	N	N	N	6	N	C_e M_e Y_e Z	4 N C_e M_e Y_e Z

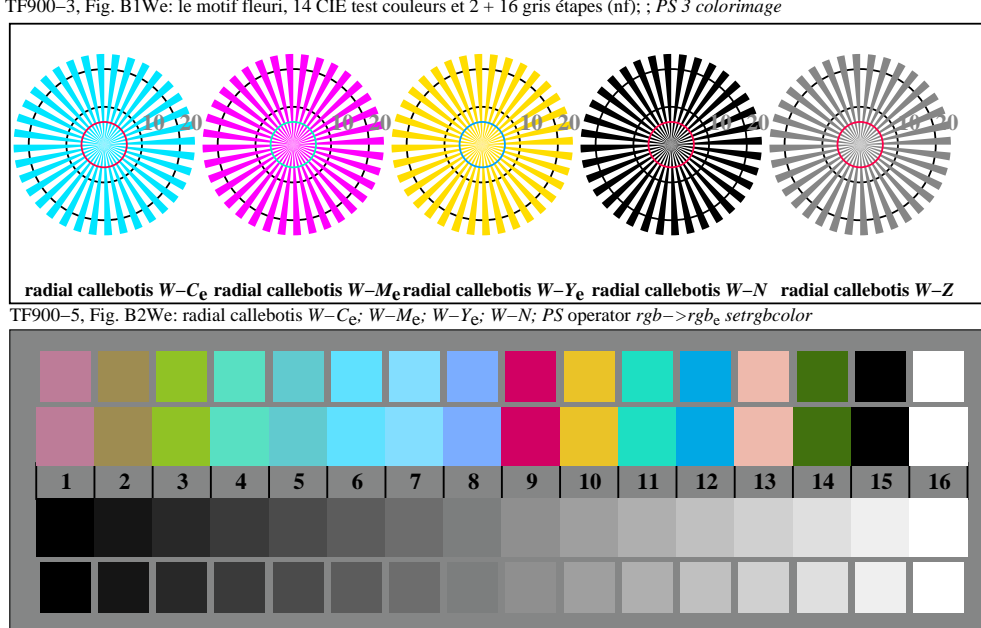
TF901-3, Fig. B5We: code et Landolt anneau N ; C_e ; M_e ; Y_e ; Z ; PS operator $rgb \rightarrow rbg_e$ setrgbcolor



TF901-5, Fig. B6We: anneaux Landolt $W-C_e$; $W-M_e$; PS operator $rgb \rightarrow rbg_e$ setrgbcolor



TF901-7, Fig. B7We: anneaux Landolt $W-Y_e$; $W-N$; PS operator $rgb \rightarrow rbg_e$ setrgbcolor



TF900-7, Fig. B3We: 14 CIE test couleurs et 2 + 16 gris étapes (sf); $rgb/cmy0 \rightarrow rbg_e$ setrgbcolor